

Fig. 1.

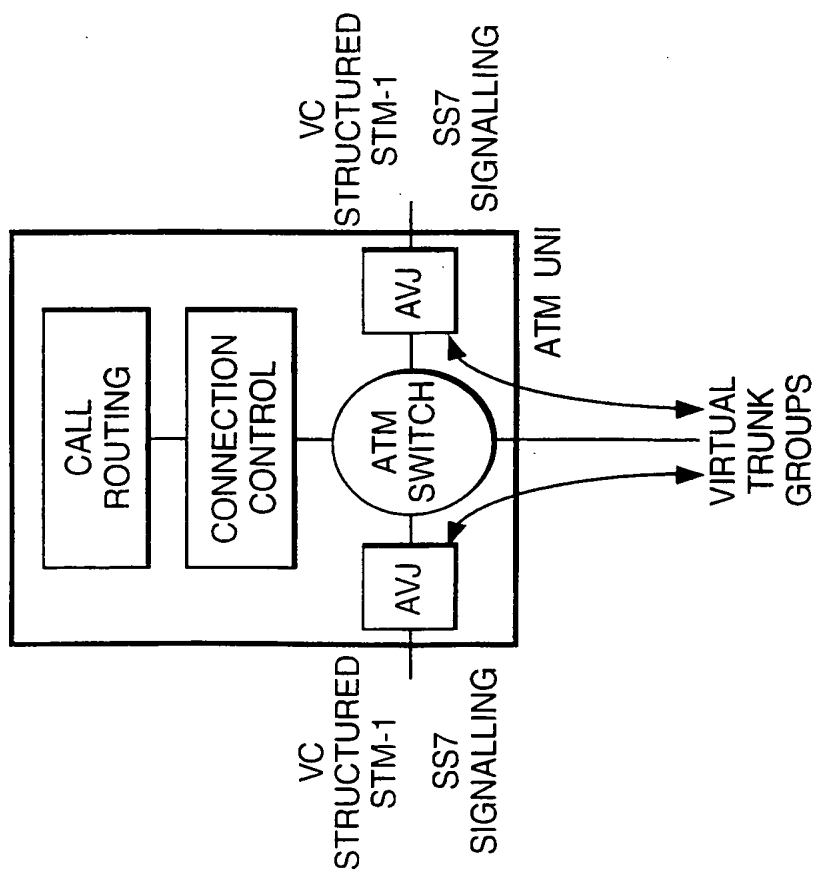


Fig.2.

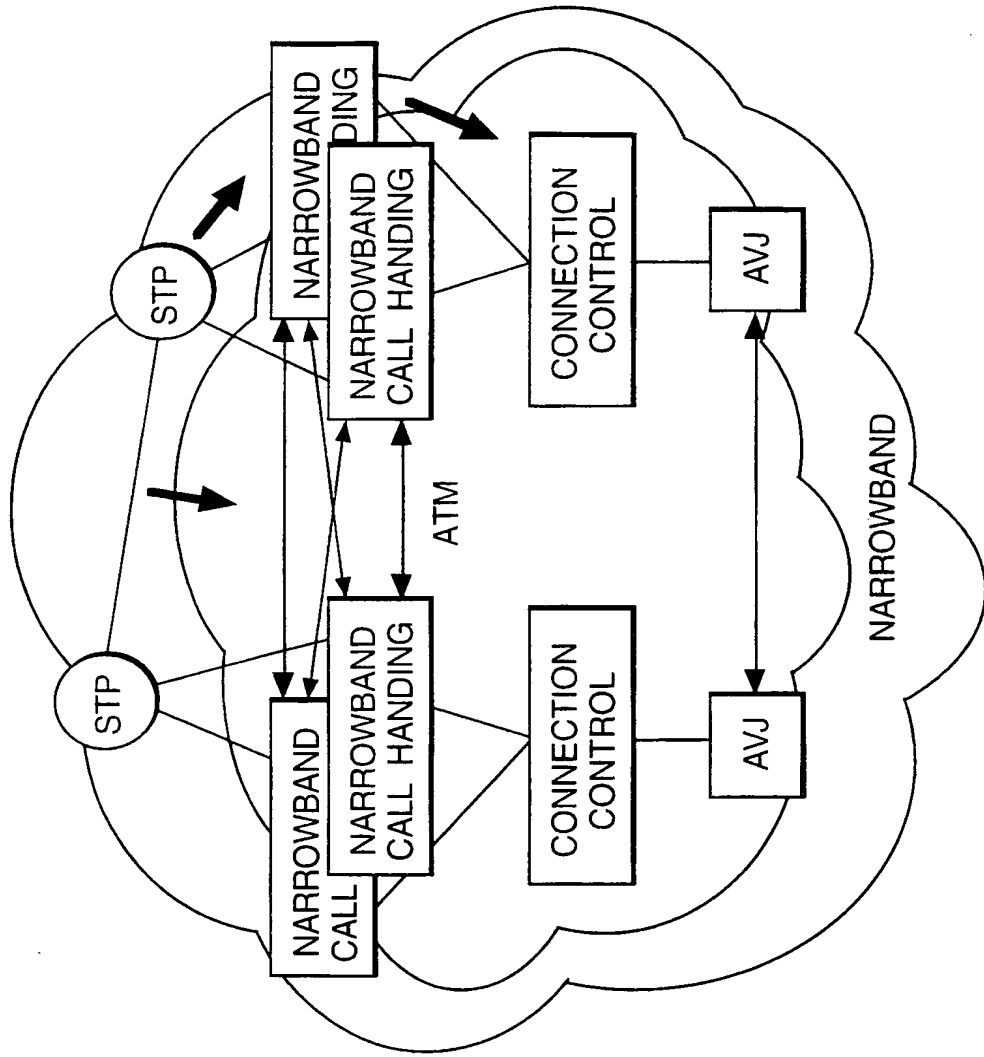
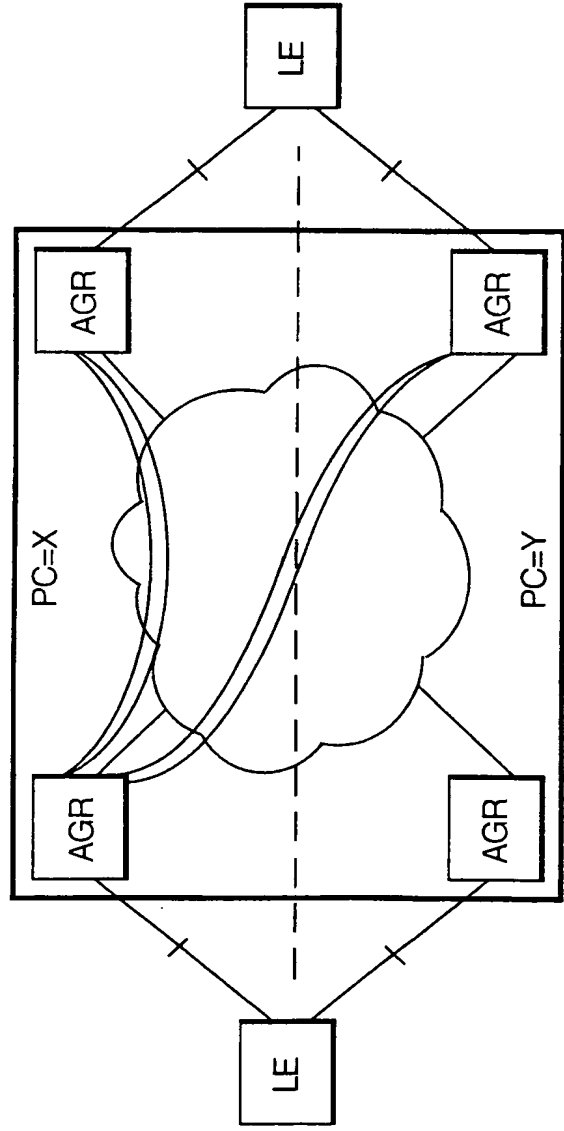


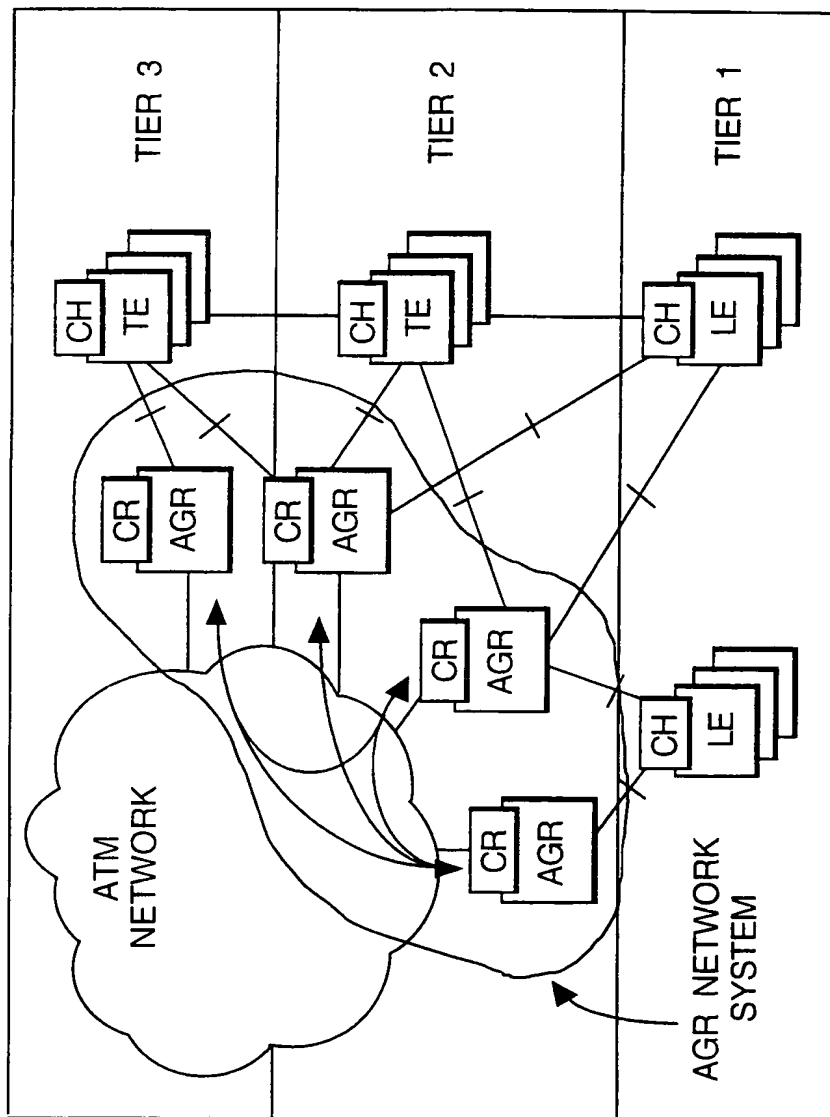


Fig.4.



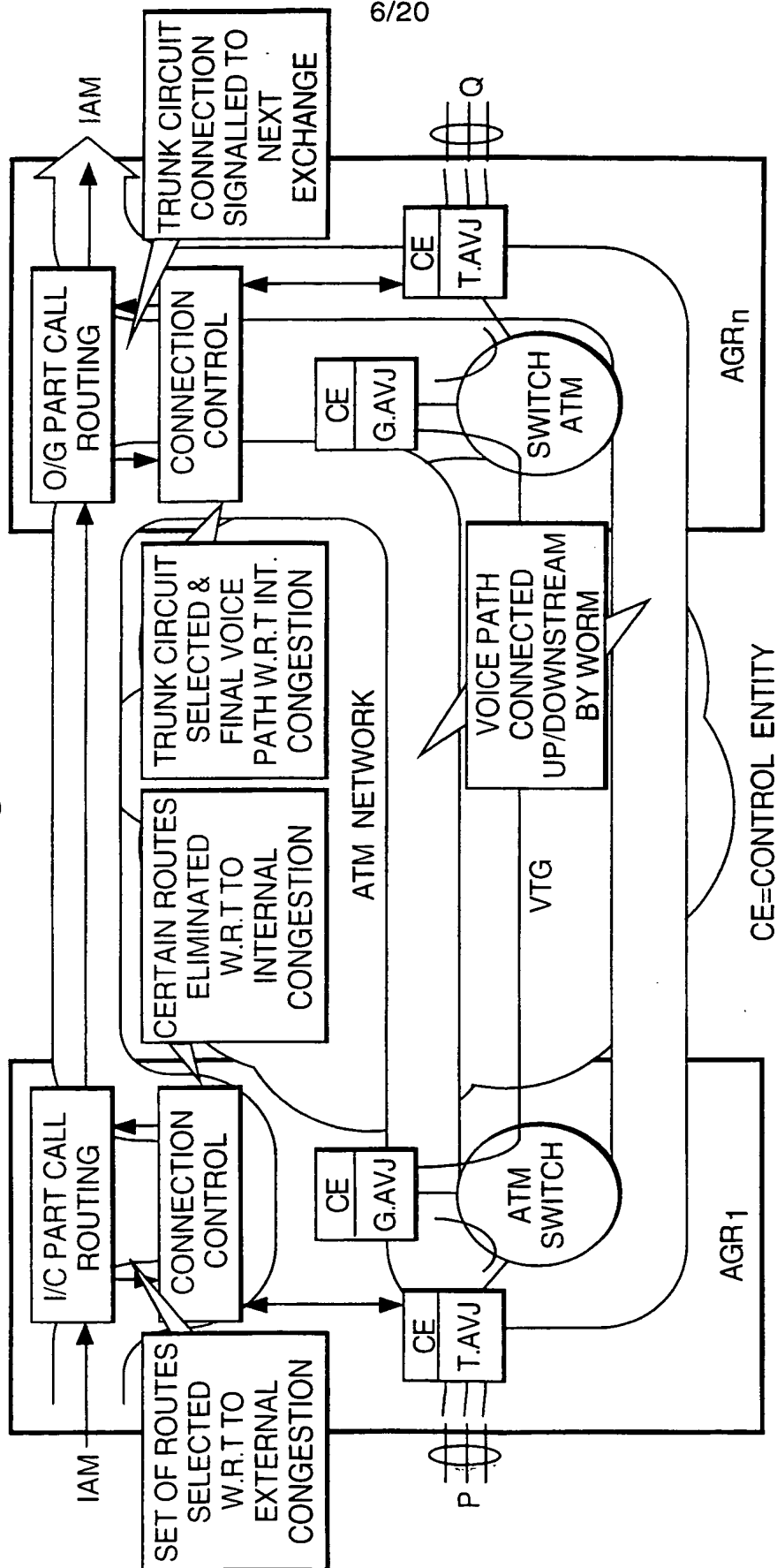
5/20

Fig.5.



6/20

Fig.6.



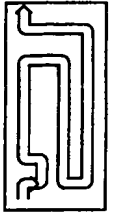
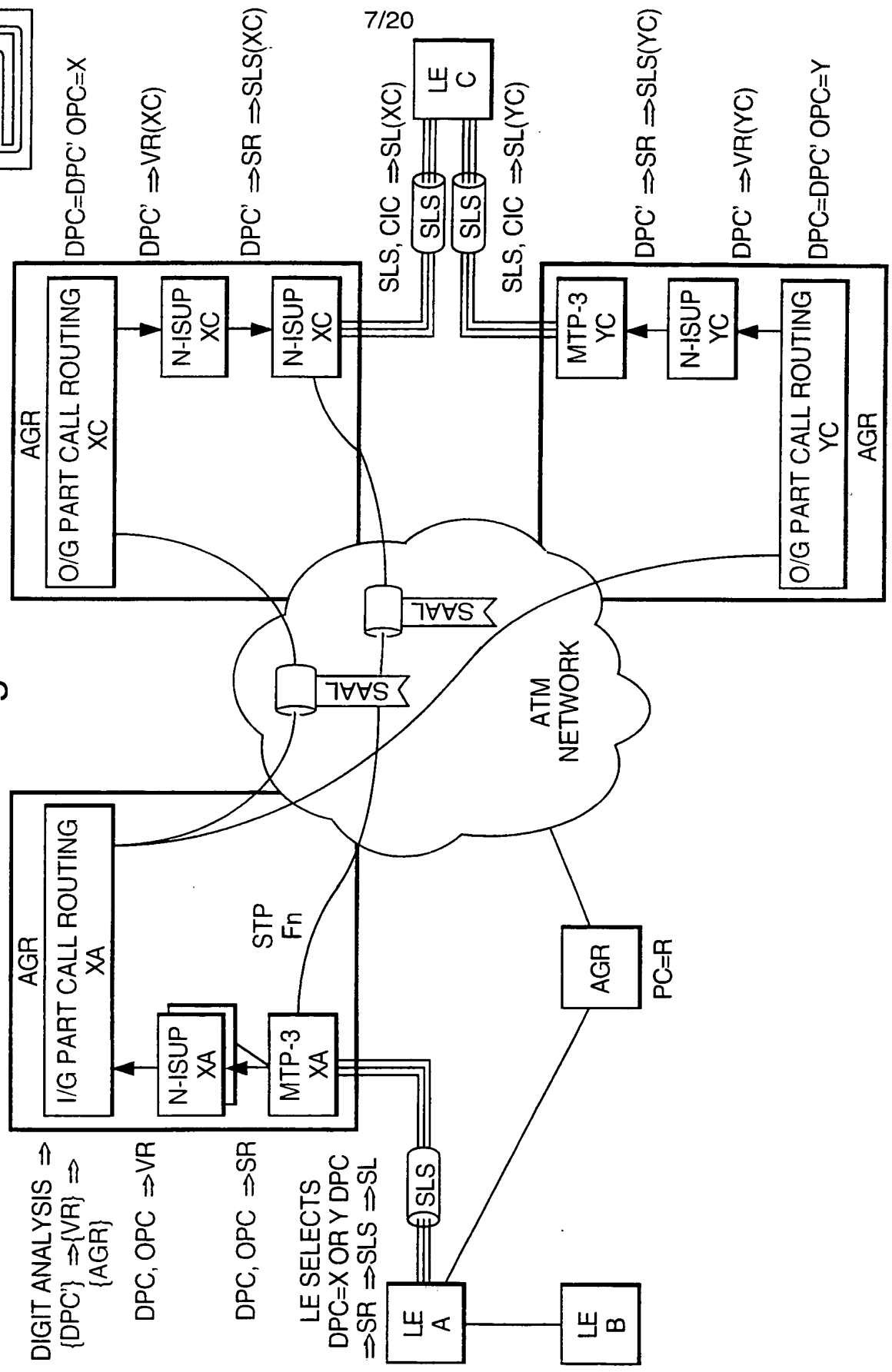
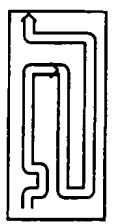


Fig. 7.



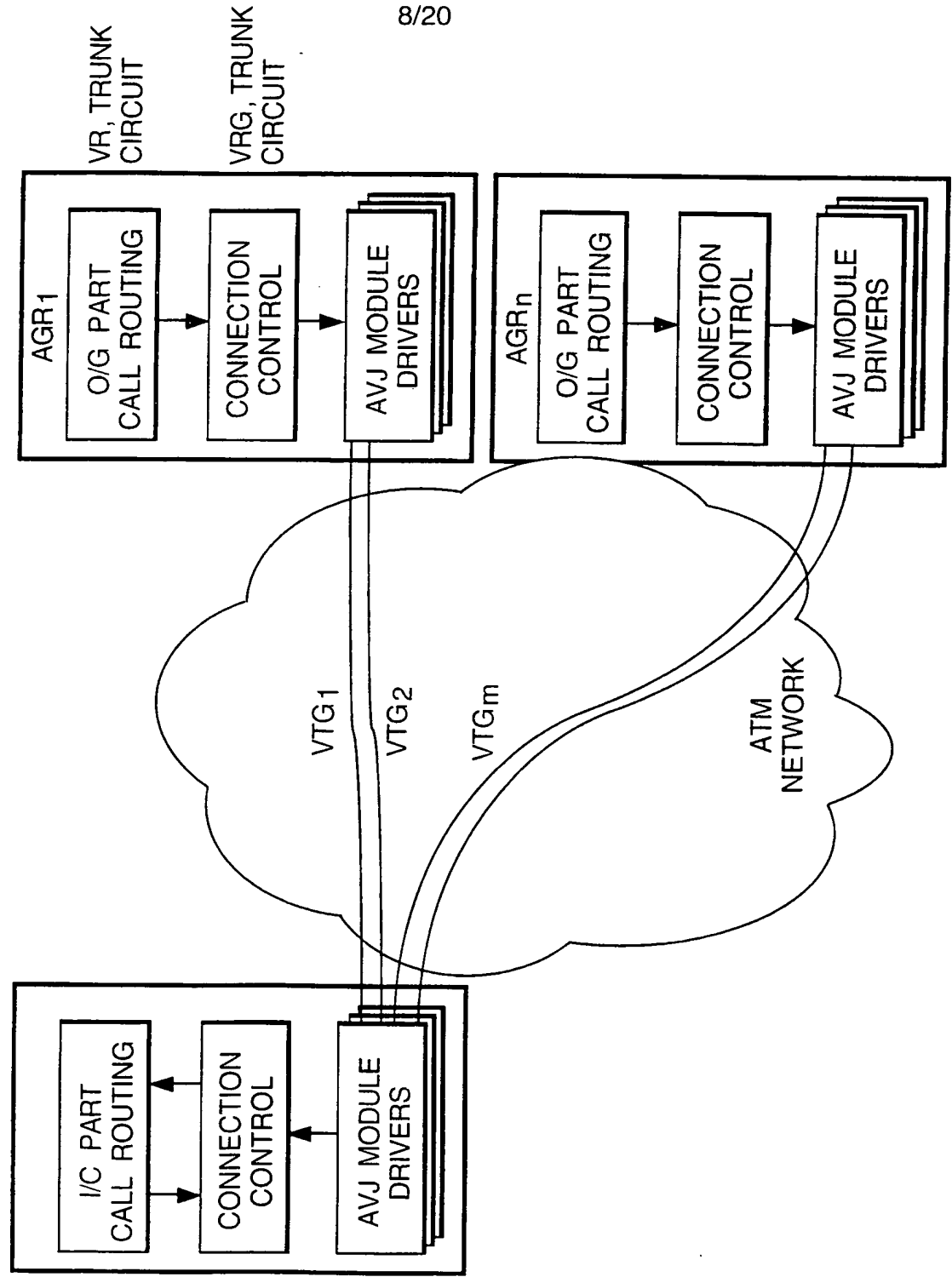
666210 222222

Fig.8.



DIGIT ANALYSIS  
 $\Rightarrow \{VR\} \Rightarrow \{AGR\}$

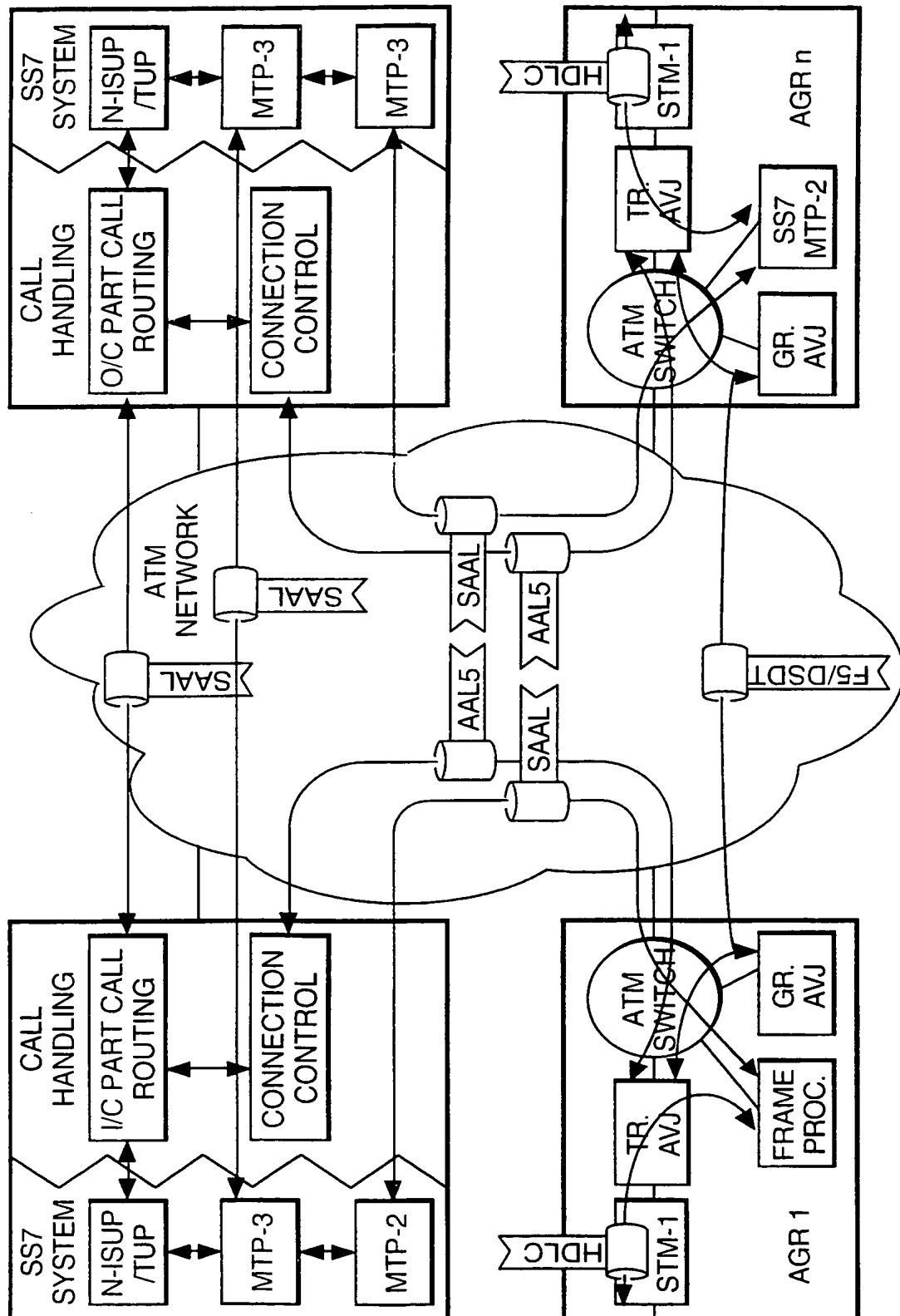
$\{AGR\} \Rightarrow \{VTG\}$   
 $\{VTR\}$





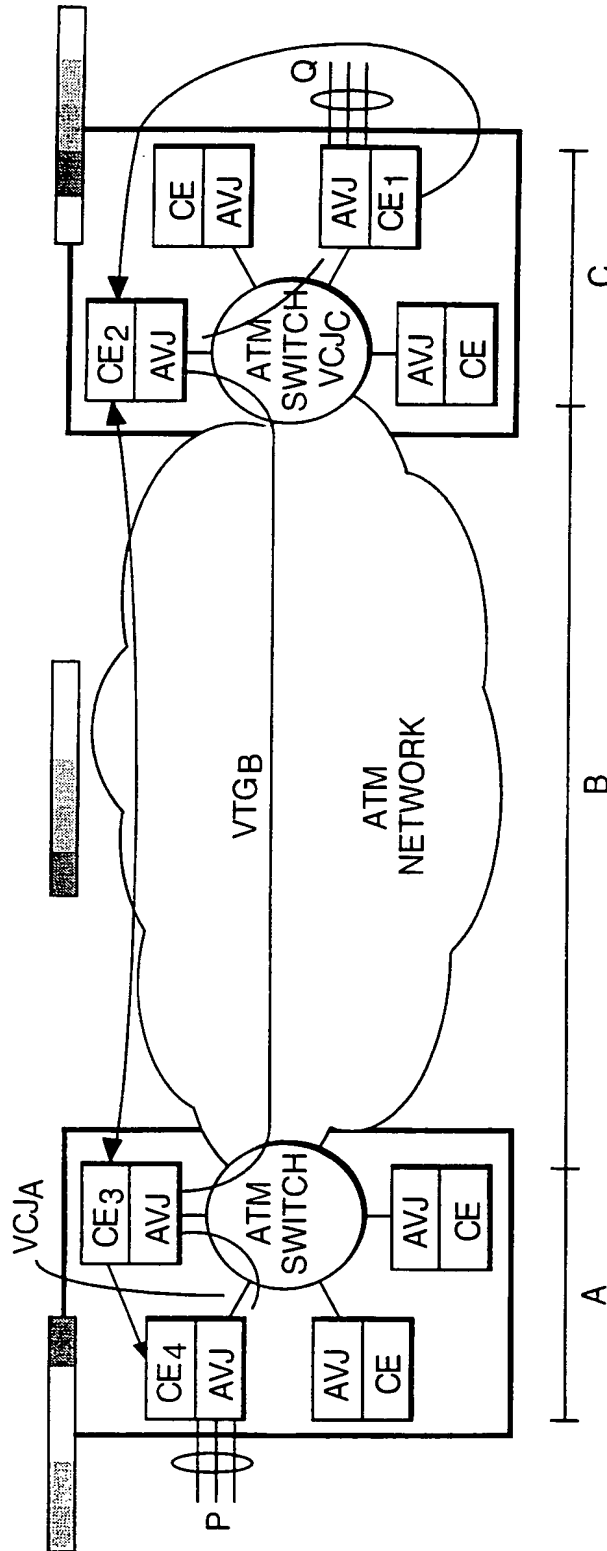
9/20

Fig.9.



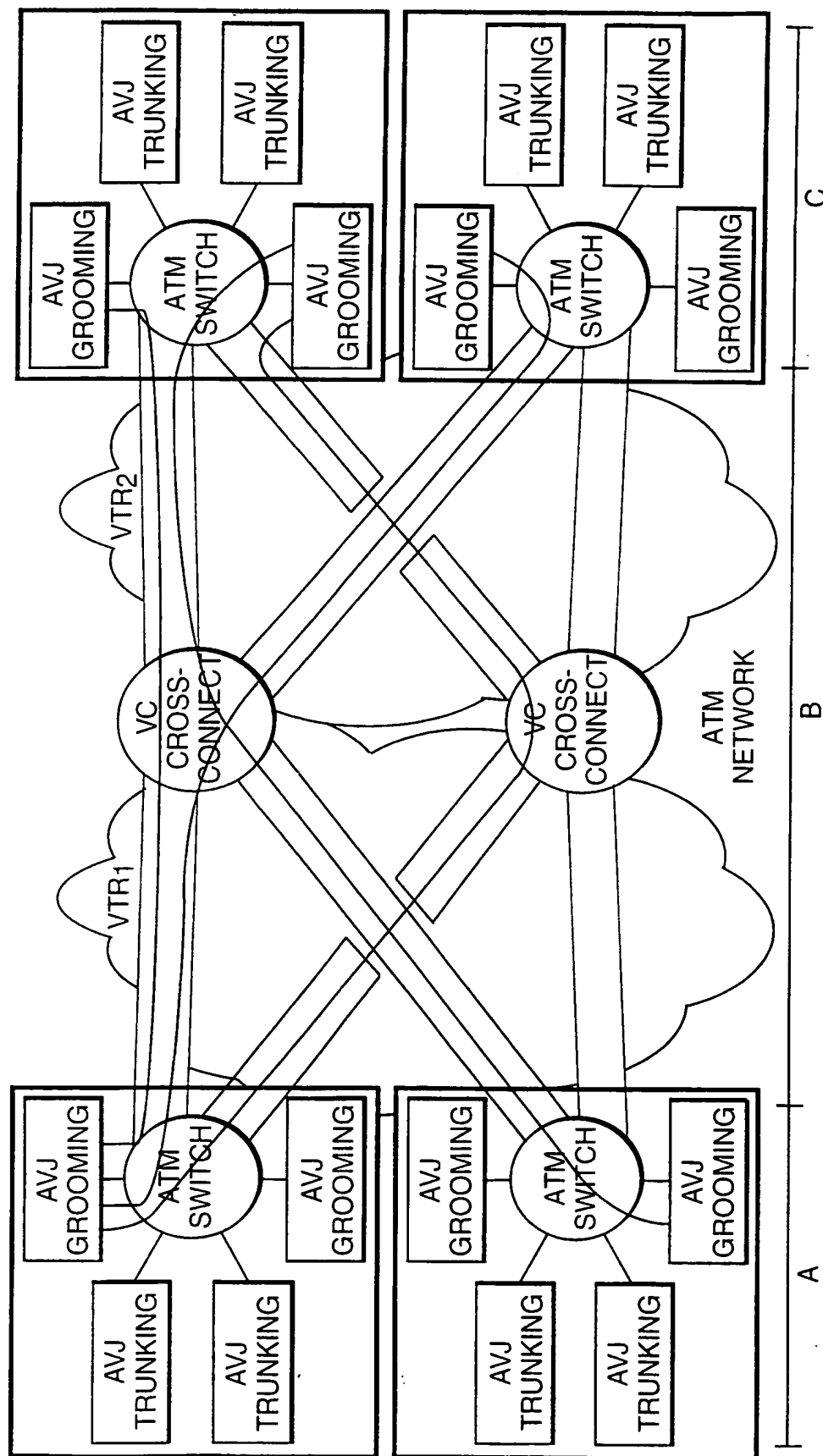
10/20

Fig.10.



11/20

Fig.11.



12/20

Fig.12.

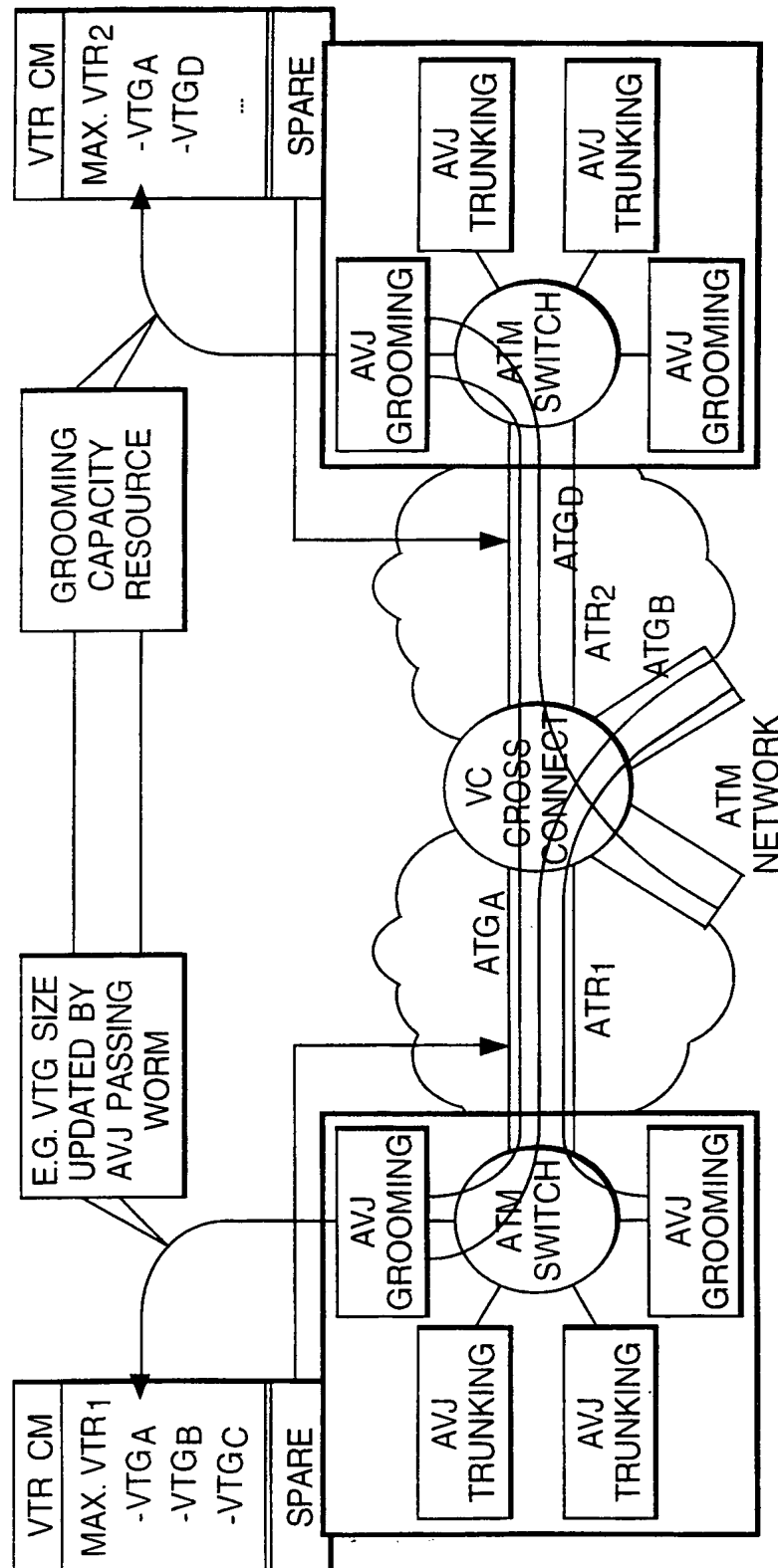
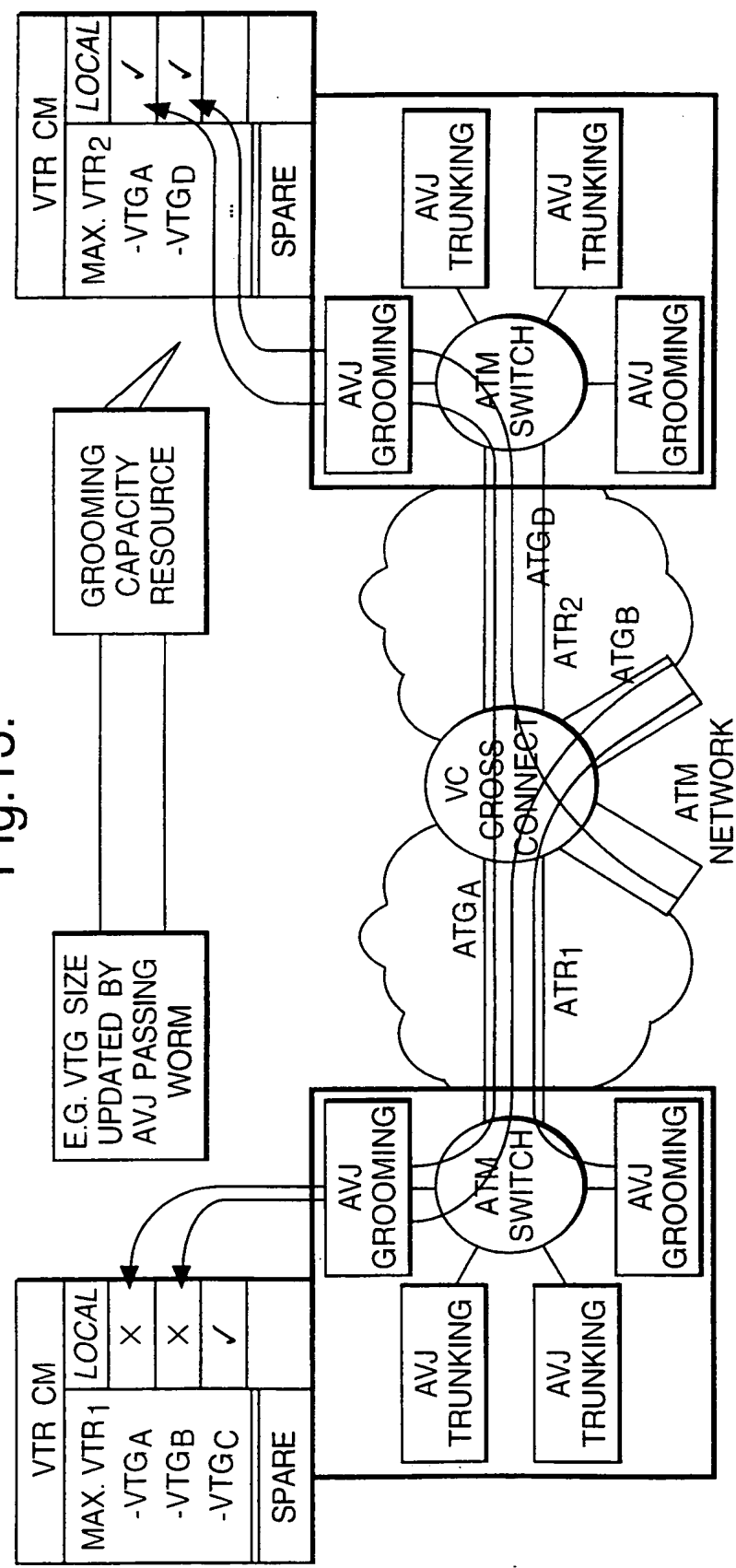


Fig.13.



14/20

Fig.14.

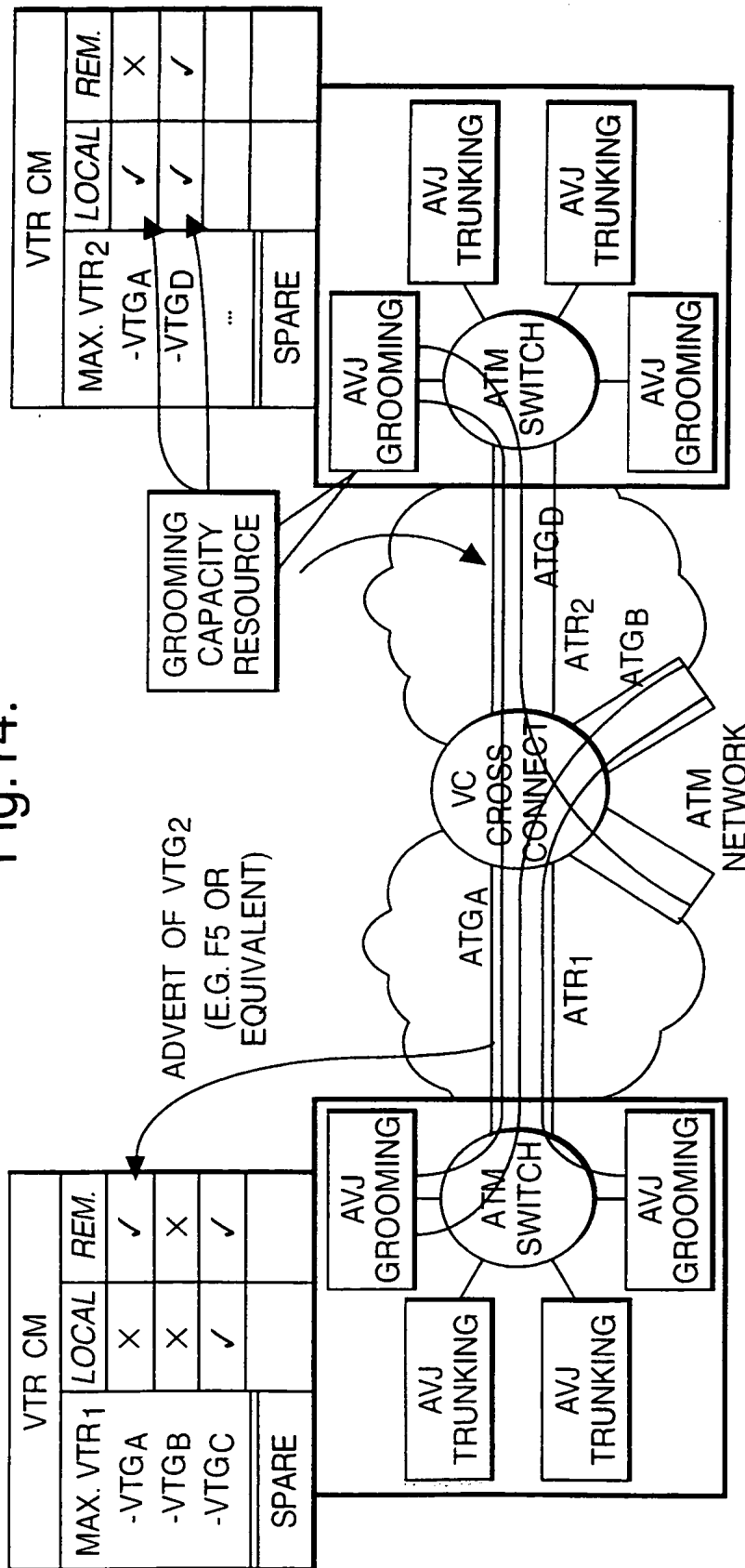


Fig.15.

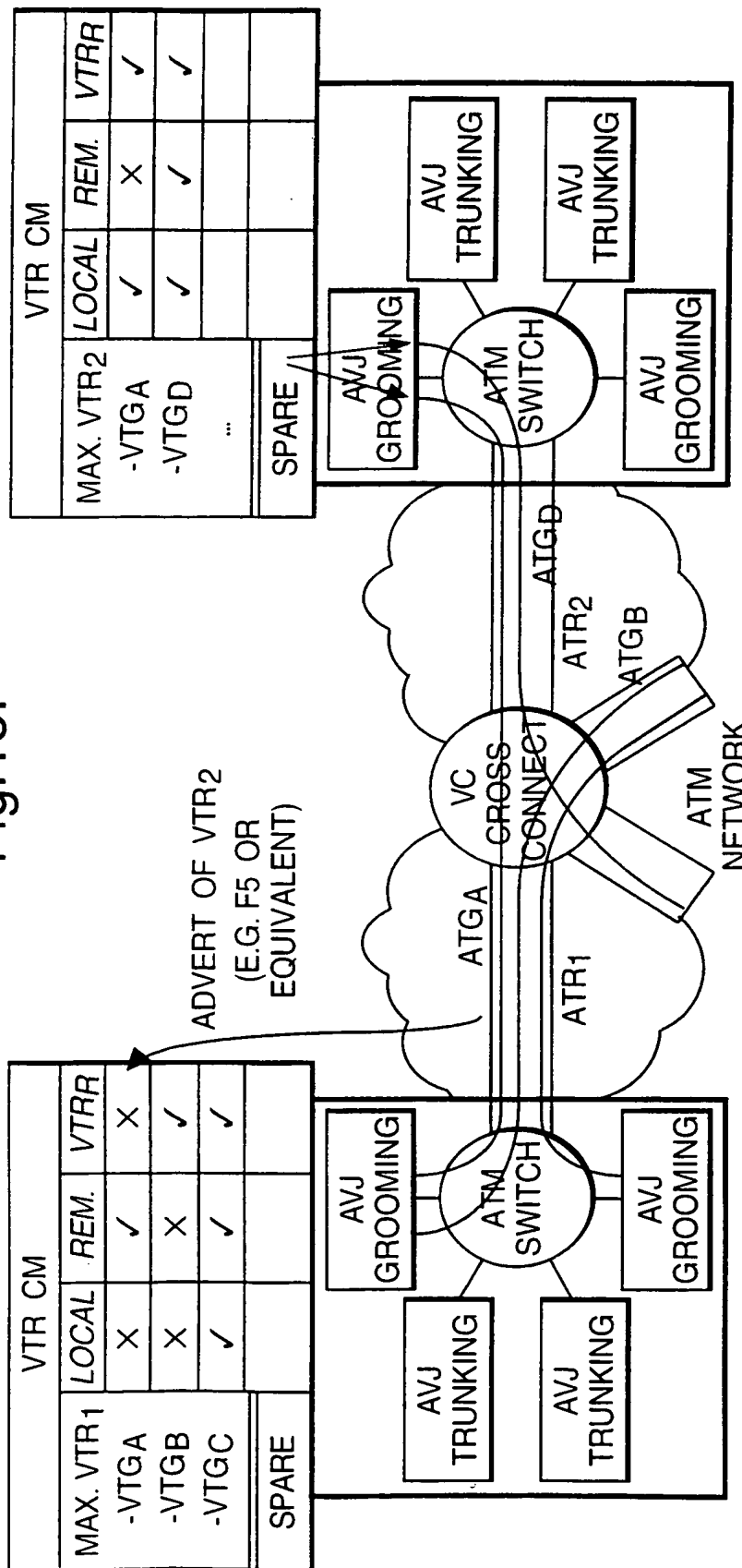
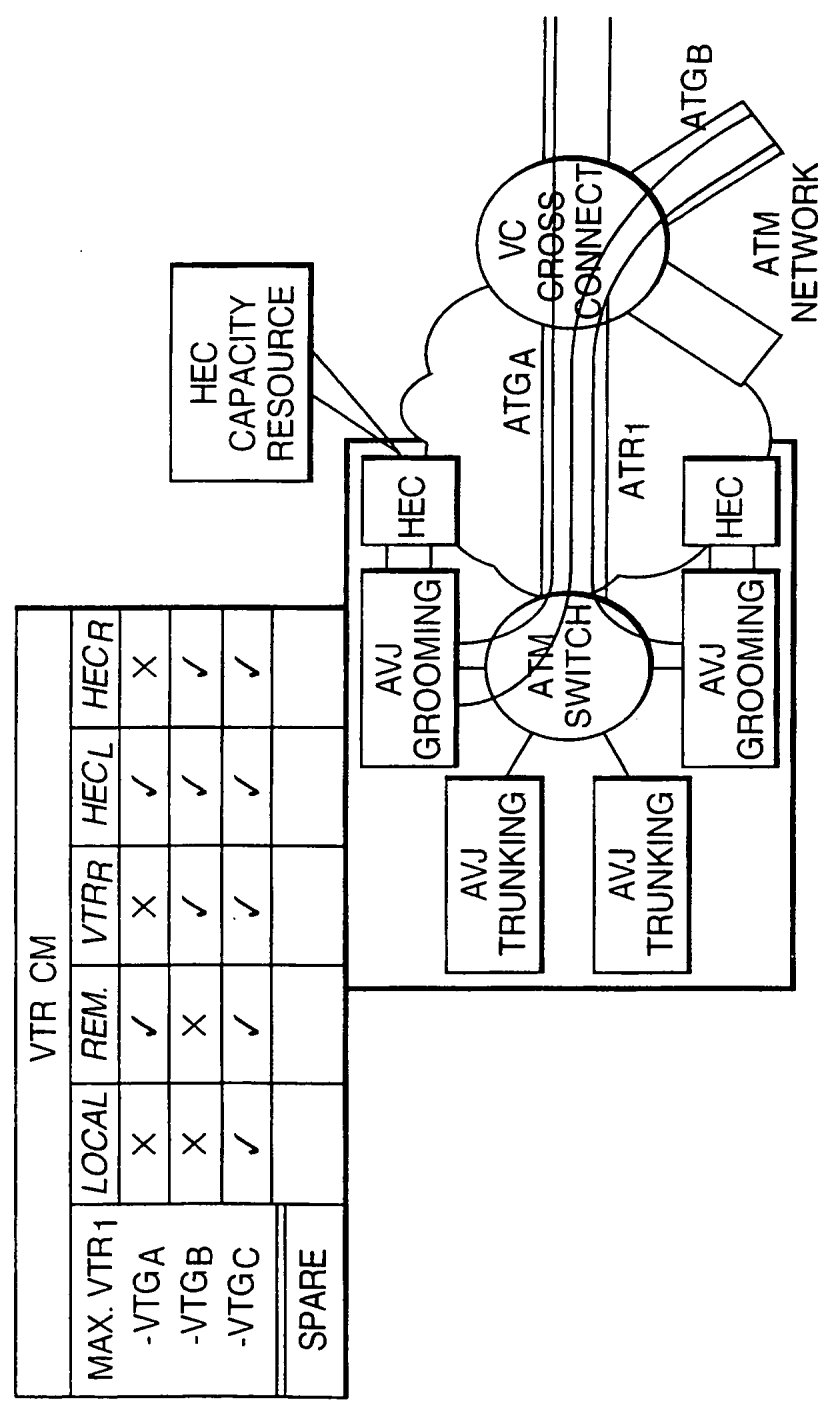


Fig.16.





17/20

Fig.17.

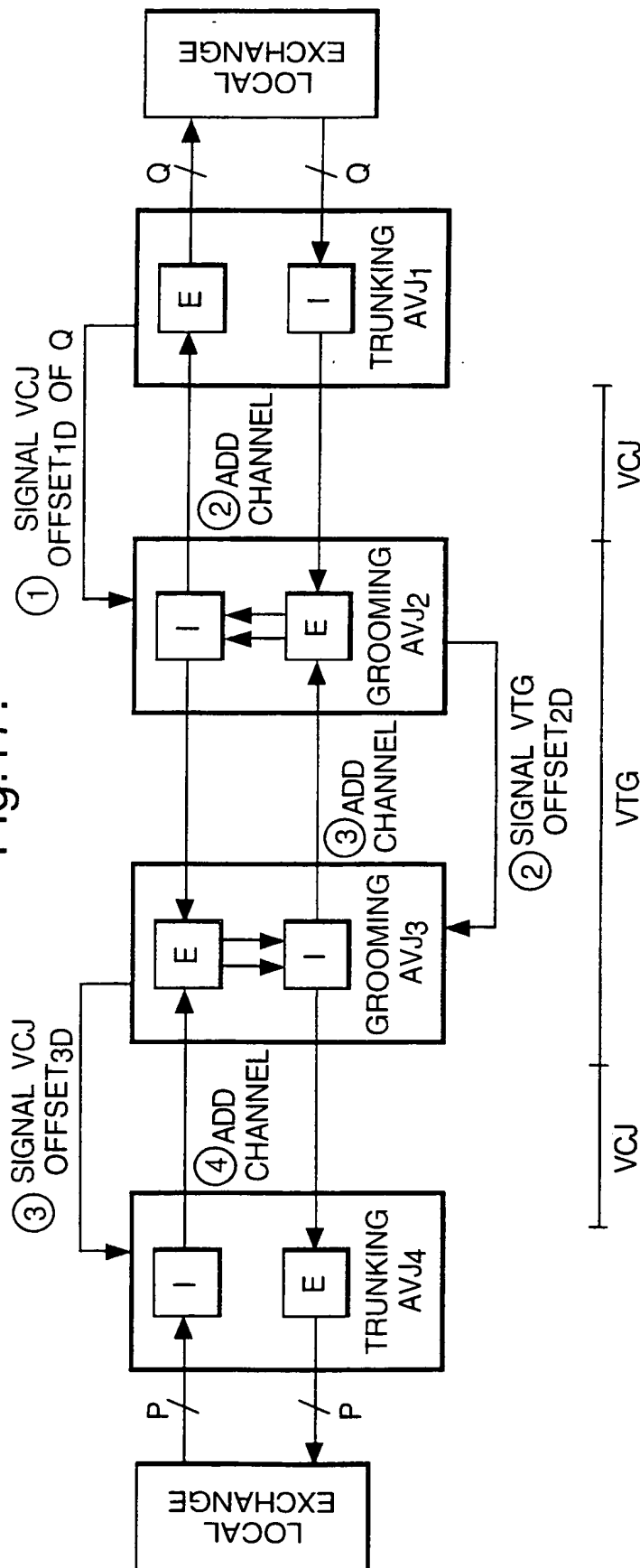
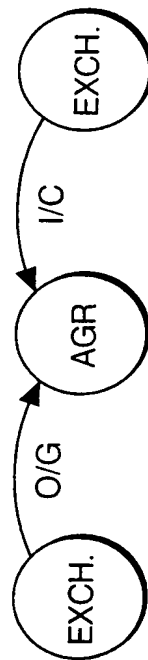
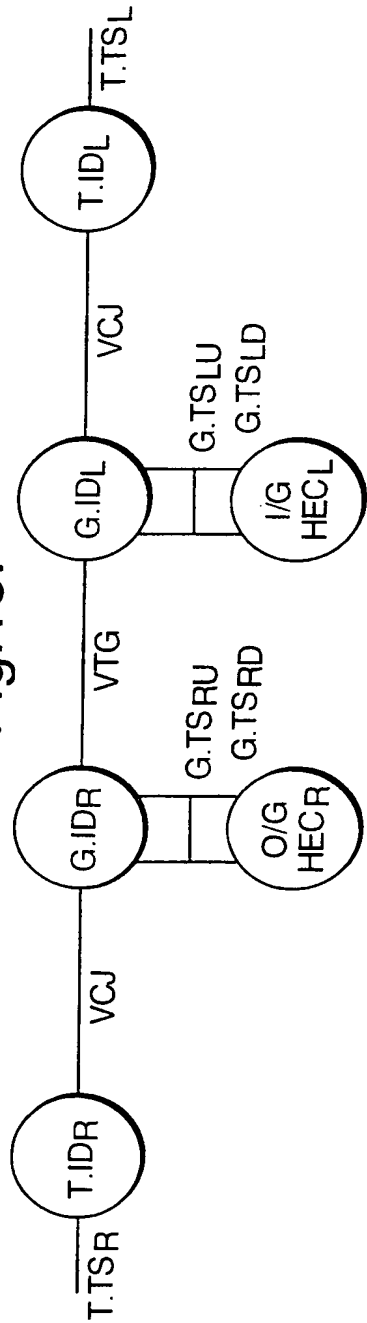


Fig.18.



CONN.	T.TSL	T.IDL	G.IDL	HECYN	G.TSLU	G.TSLD	VTG	HECYN	G.TSRU	G.TSRD	T.IDR	T.TSR
DISCON.	T.TSL	T.IDL	G.IDL		G.TSLU	G.TSLD	VTG	HECYN	G.TSRU	G.TSRD	T.IDR	T.TSR
MOD.	T.TSL	T.IDL	G.IDL	HECYN	G.TSLU	G.TSLD	VTG	HECYN			T.IDR	T.TSR

REMOTE

LOCAL

Fig.19.

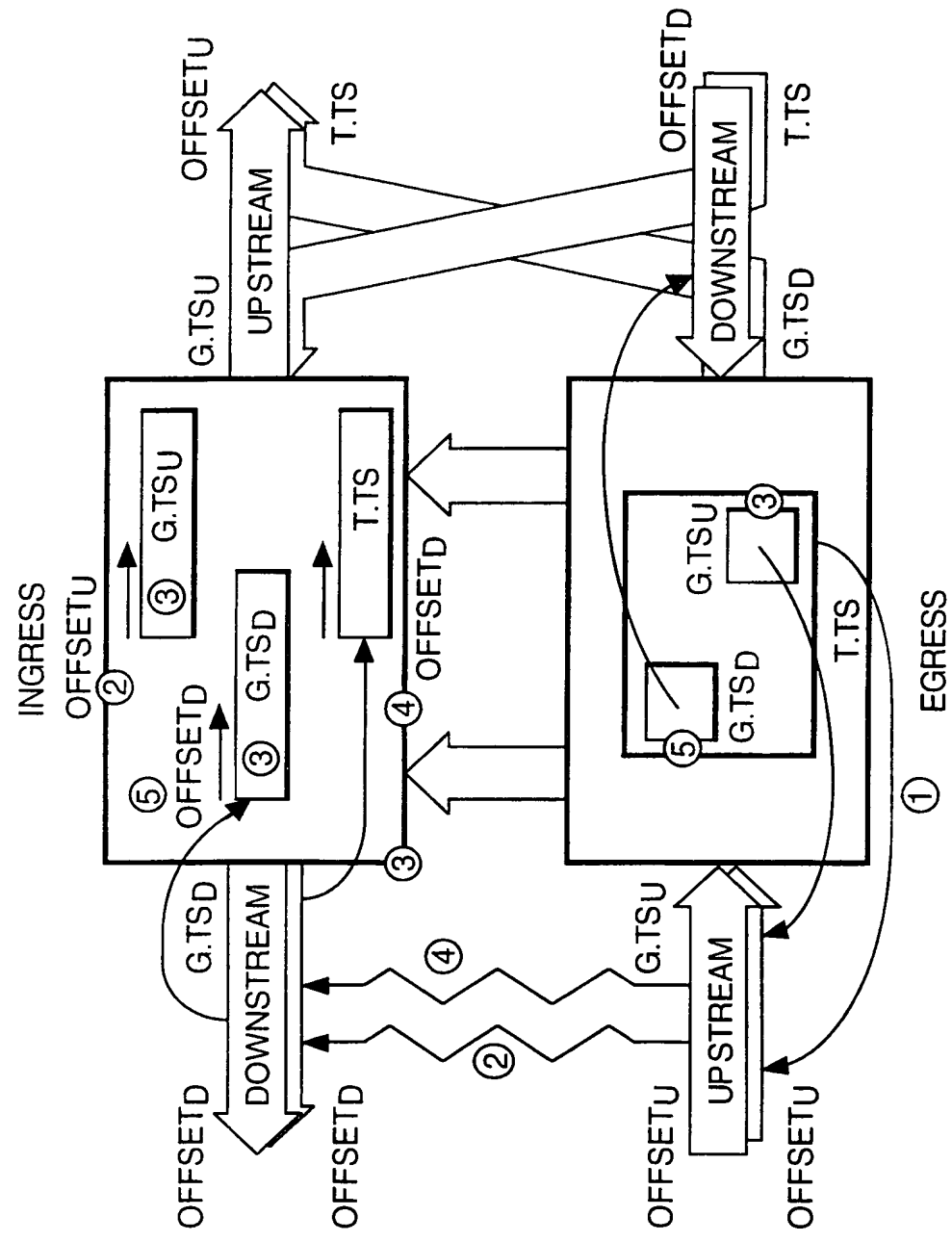


Fig.20.

